

III-122 一次元の凍結ひずみ時間増分式

石川島播磨重工業(株) 技術研究所 正 加藤 一行

1. まえづき

近年数多くの低温液体貯蔵用地下タンクが建造されていき。この地下タンクは、液位等の外力の他に地盤の凍結による圧力(凍結圧)を受ける。また地盤の凍結による変位(凍結変位)によって構造物の材の整合性が影響を受けることがある。健室地下タンクの設計にあたるには、凍結による地盤の荷重を知ることが必要である。この分野における高志らによつて一連の研究(例えは[1])がなされており相当の成果を得られてゐる。例えば、供試体下法と凍結膨張量との比、すなはち凍上率が熱流方向に作用する圧力と凍結速度の関数で表わすことと明らかにしたのは大きな成果である。この凍上率を用いて何らかの手法で地盤凍結問題を解けば地下タンクの設計に有益となるだろう。この課題をもつて凍上率その他の初期ひずみとして有限要素解析した例[2]もある。VとU單に初期ひずみとVのひずみは凍結期間中の荷重変化の効果を考慮せねばならぬ。一般に最大評価上げうだ。そこで本論文では高志の凍上率の実験式とともに凍結ひずみの時間増分式を導き、凍結期間中の荷重変化の効果を考慮せねばならないようになつた。またこの時間増分式を用いて変位拘束凍結の圧力増加(凍結膨張圧)を計算したところ、Olsenらの実験結果[3]と類似の曲線を得た。

2. 凍結ひずみの時間増分式

いま高志らの実験と同様の実験(Fig-1)を考える。熱流は熱流方向にVの成分をもつてとする。 $\sigma_m = \sigma_0 = \text{const.}$, $J = J_0 = \text{const.}$ の条件のもとで実験を行はうと凍上量と時間tは文献[1]のFig.2により、ほぼ

$$h = at \quad (a: \text{const.}) \quad (1)$$

$$\dot{\epsilon}_m^f = \frac{h}{L} \quad (2)$$

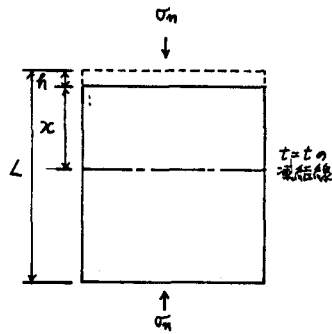


Fig-1 一次元凍結実験

$$\dot{\epsilon}_m^f = \frac{a}{Uct_m} t \quad (3)$$

一方、 $t = t_m$ では、 σ_m は高志らの凍上式の $\sigma_m = \sigma_0 + \frac{U_0}{U} t$, $U = U_0$ のときの値

$$\dot{\sigma}(\sigma_0, U_0) = \dot{\sigma}_0 + \frac{U_0}{U} (1 + \sqrt{\frac{U_0}{U}}) \quad (4)$$

となるから、(3)で $t = t_m$ の値が(4)に等しくなる定数aを求めることができて、

$$a = \dot{\sigma}(\sigma_0, U_0) \cdot U_0 \quad (5)$$

となる。これで(3)に代入すると $\dot{\epsilon}_m^f$ の時間固有式(6)を得ることができる。

$$\dot{\epsilon}_m^f = \frac{1}{t_m} \dot{\sigma}(\sigma_0, U_0) t \quad (6)$$

さらに、(6)を時間微分すると凍結ひずみ速度を得る。

$$\dot{\dot{\epsilon}}_m^f = \frac{d\dot{\epsilon}_m^f}{dt} = \frac{1}{t_m^2} \dot{\sigma}(\sigma_0, U_0) \quad (7)$$

さて、累積T=t_mの上まで実験を行ひ、に場合に次の結果が得られることが予想される。

$$(\dot{\epsilon}_m^f)_{\sigma_m=\sigma_1} = \frac{1}{t_m} \dot{\sigma}(\sigma_1, U_0) \quad (8)$$

$$(\dot{\epsilon}_m^f)_{\sigma_m=\sigma_2} = \frac{1}{t_m} \dot{\sigma}(\sigma_2, U_0) \quad (9)$$

(8), (9)の差をとると応力の経過の関数とほり、

$$d\dot{\epsilon}_m^f = \frac{1}{t_m} d\dot{\sigma} \quad (10)$$

上付3。さらに応力の変化が小さい限り $d\dot{\delta} = \left(\frac{\partial \dot{\delta}}{\partial \sigma_m}\right) d\sigma_m$ と と付3。一式、

表すこととする、(10)は次式となる。

$$d\dot{\epsilon}_n^f = \frac{1}{t_m} \left(\frac{\partial \dot{\delta}}{\partial \sigma_m}\right) d\sigma_m \quad (11)$$

$t = t_1$ のとき $\sigma_m = \sigma_1$, $t = t_R = t_1 + \Delta t$ のとき $\sigma_m = \sigma_2 = \sigma_1 + \Delta \sigma_m$ とするとき $\dot{\epsilon}_n^f$ は次式となる。

$$(\dot{\epsilon}_n^f)_{t=t+t_R} = (\dot{\epsilon}_n^f)_{t=t_1} + \frac{1}{t_m} \left(\frac{\partial \dot{\delta}}{\partial \sigma_m}\right)_{t=t_1} \Delta \sigma_m \quad (12)$$

したがって、 $t = t(t_1 > t > t_R)$ における $\dot{\epsilon}_n^f$ は次式で与えられる。

$$(\dot{\epsilon}_n^f)_{t=t} = (\dot{\epsilon}_n^f)_{t=t_1} + \left\{ (\dot{\epsilon}_n^f)_{t=t_1} - (\dot{\epsilon}_n^f)_{t=t_2} \right\} \frac{\ln(t/t_1)}{\ln(t/t_2)} \quad (13)$$

(12) と (13) に代入して $t = t_1$ から $t = t_R$ まで積分すると、

$$\Delta \dot{\epsilon}_n^f = (\dot{\epsilon}_n^f)_{t=t_1} \Delta t + C \frac{1}{t_m} \left(\frac{\partial \dot{\delta}}{\partial \sigma_m}\right)_{t=t_1} \Delta \sigma_m \quad (14)$$

$$\text{ここで } C = [t_R - \Delta t / \ln(t/t_1)]$$

となる。この式を一次元の構成方程式

$$\Delta \sigma_m = E (\Delta \epsilon_n - \Delta \dot{\epsilon}_n^f) \quad (15)$$

に代入して整理すれば構成方程式が完成する。

3. 变位拘束実験による圧力の時間変化

変位拘束圧に拘束したときと (15) は

$$\Delta \sigma_m = -E \left\{ (\dot{\epsilon}_n^f)_{t=t_1} \Delta t + C \frac{1}{t_m} \left(\frac{\partial \dot{\delta}}{\partial \sigma_m}\right)_{t=t_1} \Delta \sigma_m \right\} \quad (16)$$

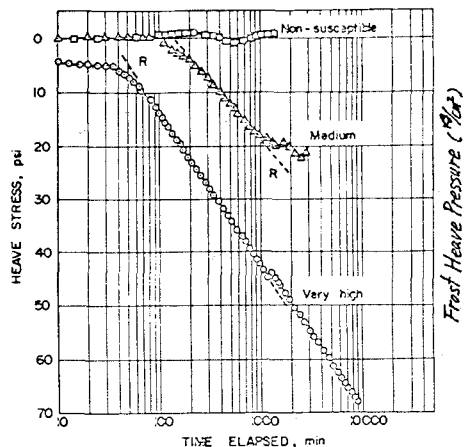


Figure 2. Typical Heave Stress vs. Log Time Plots (Olson et al.).

$$\left(\frac{\partial \dot{\delta}}{\partial \sigma_m}\right) = -\frac{\sigma_0}{\sigma_m^2} (1 + \sqrt{\frac{\sigma_0}{\sigma_m}}) \quad (17)$$

となり、(16) は頭頂に σ_m を置く以下の式が得られる。

$$\Delta \sigma_m = -\frac{(\sigma_m^2)_{t=t_1} t_m E}{(\sigma_m^2)_{t=t_1} t_m - E \cdot C \cdot \sigma_0 (1 + \sqrt{\frac{\sigma_0}{\sigma_m}})} - \frac{(\dot{\epsilon}_n^f)_{t=t_1} \Delta t}{t_m} \quad (18)$$

この式に初期値と $\sqrt{\sigma_0}$ (σ_0)_{t=0} = σ_1 , ($\dot{\epsilon}_n^f$)_{t=0} = $\dot{\epsilon}_1$ (σ_1 , $\dot{\epsilon}_1$)_{t=0} = E とすると、 $t = t$ の圧力を求める得る。この結果を Fig-3 に示す。これは Fig-2 に示す Olseni の実験結果と類似の傾向正しく。

4. おわりに

本論文では高応力の実験式をもとにして单軸条件における凍結ひずみ時間増分式を導いた。この式を用いて度位拘束実験問題を解いたところ Olseni の実験と類似の傾向を得た。この式はある凍結要素の一凍結期間中の応力変化の効果を考慮しているので、初期ひずみによる解析よりも現実的ではないかと考える。最後にこの式は、単に凍結面を基準とした座標及び全体座標に複数年かかる多次元に拡張できると仮定すれば、簡単に多次元の式となる。それ故に今後有限要素法に適用する上に便利である。

参考文献 [1] 高志益田山本: 地盤工学 Vol. 36, No. 2 pp. 1~20 (1974)

[2] 底島謙蔵研修課 No. 26 pp. 105~110 (1978)

[3] J.H. Olson et al.: PB-258-157 (1974)

